

# Dichtematrixrenormierungsgruppe

Andy Pfister

Vortrag im Rahmen der Vorlesung  
*Numerische Methoden in der Festkörperphysik*  
(N. Blümer)  
SS2008

13.07.2008

# Gliederung

- 1 Die Theorie der Dichtematrix-Renormierungsgruppe
- 2 Ausblick: Weiterführende Möglichkeiten der Dichtematrix-Renormierungsgruppe
- 3 Die Praxis: ALPS Implementierung der Dichtematrix-Renormierungsgruppe

# Überblick

## Die Dichtematrix Renormierungsgruppe

ist ein numerisches Verfahren Hilberträume niedrigdimensionaler stark verschränkter Quantensysteme effizient zu stutzen, also ihre Freiheitsgrade zu reduzieren, ohne die Physik stark zu ändern.

- eingeführt 1992 von White, um Schwächen der Numerischen Renormierungsgruppe zu beseitigen
- Standardalgorithmus für eindimensionale Systeme
- Viel größere Systeme bearbeitbar als selbst mit QMC-Algorithmen
- seit diesem Jahr in den ALPS-Bibliotheken enthalten

# Gliederung

- 1 Die Theorie der Dichtematrix-Renormierungsgruppe
  - Renormierung
  - Numerische Renormierungsgruppe
  - Dichtematrix-Renormierungsgruppe
- 2 Ausblick: Weiterführende Möglichkeiten der Dichtematrix-Renormierungsgruppe
- 3 Die Praxis: ALPS Implementierung der Dichtematrix-Renormierungsgruppe

# Renormierungsgruppen

- bekannt aus Quantenfeldtheorien
- Theorie nur in einem gewissen Energiebereich gültig
- durch Renormierung einrechnen nichtbeachteter Energieskalen in Parameter des beachteten Energiebereiches
- iterative Integrationen

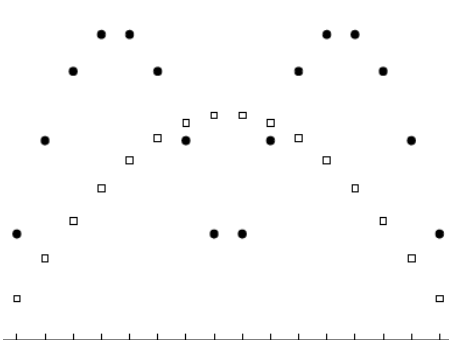
# Numerische Renormierungsgruppe (NRG)



Dient der Simulation von Störstellenmodellen mit Kugelsymmetrie

- 1 zu sehen: Hüpfmatrixelemente eines Störstellenmodells als Gitterpunkte (siehe Tafel)
- 2 dazu: System zunächst in exakt lösbaren Ausmaßen ausrechnen
- 3 System durch hinzunehmen weiterer Zustände (z.B. verdoppeln, oder nur einen Zustand) vergrößern
- 4 Lanczos-Diagonalisierung für  $m$  niedrigste Eigenwerte
- 5 falls Matrix nicht konvergiert ist: zurück zu 3.

# Grenzen der NRG

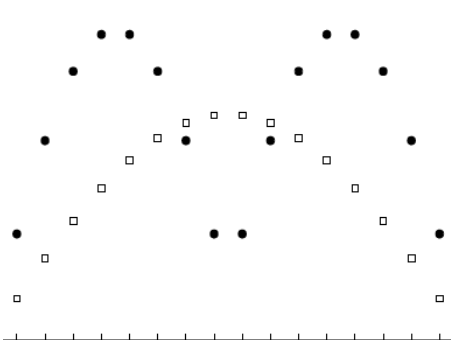


- Verallgemeinerung zu überall wechselwirkenden Gitterpunkten funktioniert nicht (**real space renormalization group**)
- Beispiel: Teilchen im Kasten: Nullpunktswellenfunktion und Nullpunktswellenenergie bei halbem Kasten wesentlich verschieden von ganzem Kasten

## Verschränkung (*entanglement*)

Quantenmechanische Teilchen sind auf nichttriviale Weise mit ihrer Umwelt verbunden

# Grenzen der NRG



- Verallgemeinerung zu überall wechselwirkenden Gitterpunkten funktioniert nicht (**real space renormalization group**)
- Beispiel: Teilchen im Kasten: Nullpunktswellenfunktion und Nullpunktsenergie bei halbem Kasten wesentlich verschieden von ganzem Kasten

## Verschränkung (*entanglement*)

Quantenmechanische Teilchen sind auf nichttriviale Weise mit ihrer Umwelt verbunden

# Dichtematrix-Renormierungsgruppe

- Beschreibe System jetzt im Zusammenhang mit Umgebung
- Gesamtsystem (*universe, superblock*) gegeben durch *system* und *environment*
- Wie beschreibt man die Umwelt?
- Spiegelung des Systems

# Dichtematrix-Renormierungsgruppe

- Beschreibe System jetzt im Zusammenhang mit Umgebung
- Gesamtsystem (*universe, superblock*) gegeben durch *system* und *environment*
- Wie beschreibt man die Umwelt?
- Spiegelung des Systems

# Dichtematrix

**Dichtematrix:** allgemeinste Beschreibung eines QM Systems, da verschränkte Zustände, also Entanglement, beschrieben werden können

$$\rho_T = \exp(-\beta \hat{H}) = \sum_{\alpha} \exp(-\beta E_{\alpha}) |\Psi_{\alpha}\rangle \langle \Psi_{\alpha}|$$

$$\rho = \sum_{\alpha} C_{\alpha} |\Psi_{\alpha}\rangle \langle \Psi_{\alpha}|$$

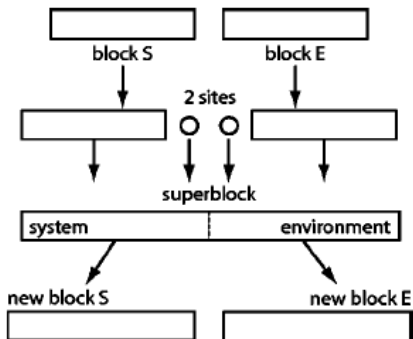
- Superblock in reinem Zustand

$$\rho^{super} = |\Psi\rangle \langle \Psi|$$

- System alleine aber in verschränktem Zustand

$$\rho^S = \text{Tr}_E \rho = \sum_{\sigma, \epsilon, \sigma'} C_{\sigma \epsilon} C_{\sigma' \epsilon}^* |\sigma\rangle \langle \sigma'|$$

# Der Algorithmus für das unbegrenzte System



- 1 löse exakt für kleinen Superblock
- 2 teile auf in System S und Umgebung E
- 3 errechne reduzierte Dichtematrix  $\rho^S = \text{Tr}_E \rho = \sum_E |\Psi\rangle\langle\Psi|$  und deren m höchste EW mit EV
- 4 vergrößere System und Umgebung je um 1 Gitterpunkt
- 5 löse numerisch für neuen Superblock
- 6 bis zur gewünschten Länge des Systems bei 2 weitermachen

# Detaillierterer Blick auf den Algorithmus

- 1 Anfangs System  $S$  auf dem Hilbertraum der Größe  $M_l^S$ , der System exakt beschreibt, mit Basis  $\{|M_l^S\rangle\}$ . Genauso Umwelt erstellen.
- 2 System  $S$  auf  $S'$  erweitern durch Hinzunahme eines Zustandes; Hilbertraum jetzt  $N^S = M_l^S N_{\text{neuerGitterplatz}}$ -Dimensional, Basis  $\{|M_l^S \sigma\rangle\} = \{|M_l^S\rangle|\sigma\rangle\}$ . Analog  $E'$ .
- 3 Superblock der Länge  $2l + 2$  aus  $S'$  und  $E'$  erstellen, Hilbertraum  $N^S N^E$ -Dimensional.  $\hat{H}_{2l+2}$  implizit vorhanden, wird nicht explizit ausgerechnet
- 4 Diagonalisierung von  $\hat{H}_{2l+2}$  um Grundzustand zu errechnen;

- 5 Reduzierte Dichtematrix des Systems errechnen:  $\rho_S = \text{Tr}_E |\Psi\rangle\langle\Psi|$ , und deren Eigenvektoren nach Gewicht der Eigenwerte sortiert errechnen. Neue Basis des System durch Transformation der alten Basisvektoren mit den neuen EV,  $\langle m_l^S \sigma | m_{l+1}^S \rangle | m_l^S \sigma \rangle$ .
- 6 Transformiere das System auf die neue, unvollständige Basis

$$\hat{H}_{l+1}^{tr} = T^\dagger \hat{H}_{l+1} T$$

$T$  ist hier die Matrix der Spalten-EV der  $m$  größten EW. Analog wird mit  $E$  verfahren.

- 7 bei 2 wieder einsteigen, bis eine gewünschte Länge erreicht ist (zB bis zur Konvergenz der Werte)

# Fehler

- Zwei Fehlerquellen:
  - 1 inkorrekte Einberechnung der Umwelt (siehe später *finite size DMRG*)
  - 2 Abschneiden (*truncation*) der Eigenwerte  $w_i$  der Dichtematrix
- Rundungsfehler proportional zum

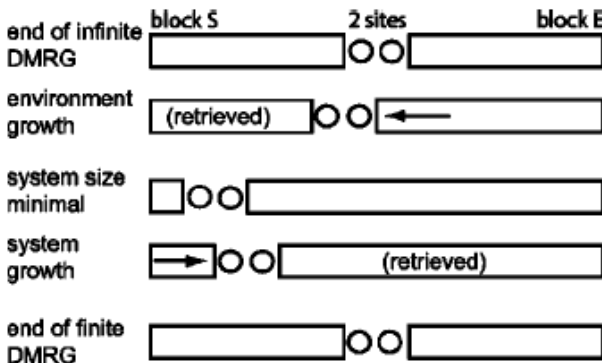
truncated error

$$\epsilon = 1 - \sum_i^m w_i$$

# Gliederung

- 1 Die Theorie der Dichtematrix-Renormierungsgruppe
- 2 **Ausblick: Weiterführende Möglichkeiten der Dichtematrix-Renormierungsgruppe**
  - Dichtematrix-Renormierungsgruppe im endlichen System
  - DMRG in höheren Dimensionen
  - Berechnung dynamischer und zeitabhängiger Größen
- 3 Die Praxis: ALPS Implementierung der Dichtematrix-Renormierungsgruppe

# Anschauung des *finite system DMRG* Algorithmus



- wenn System erwünschte Größe erreicht hat, vergrößere System auf Kosten der Umwelt
- wenn Umwelt sehr klein, kehre Prozess um
- wiederhole beliebig oft

# Warum Endlichsystem-DMRG?

- im Endlossystem-Algorithmus ist der Hamilton für zukünftige Superblocks nicht bekannt  
⇒ schlechte Ergebnisse für zufällige WW und starke Störstellen
- Endlos-Algorithmus kann sich in metastabilen Zuständen festhängen
- bei variabler Teilchenzahl (zB Elektronenmodelle) sind hinzukommenden Teilchen nicht thermalisiert

finite system DMRG löst diese Probleme

# Anwendungen der DMRG

## Eindimensionale Ketten

- bis zu einigen tausend Gliedern Größe
  - exponentiell schnell abfallenden Eigenwerten in der Dichtematrix
  - beliebige Wechselwirkungsstärke
- 
- fermionische Systeme leichter zu implementieren als in anderen Simulationsmethoden (kein Vorzeichenproblem)
  - Heisenberg- und Hubbardketten und -Leitern: Energielücken, Strukturfaktoren, topologische Eigenschaften, Magnetisierungsplateaus und kritische Exponenten
  - Systeme mit frustrierten WW, Dimerisation, Störstellen und zufälligen WW

## Quanteninformation

## Von-Neumann Entropie

$$S = -\text{Tr} \hat{\rho} \log_2 \hat{\rho} = -\sum_{\alpha} w_{\alpha} \log_2 w_{\alpha}$$

- misst Stärke der Verschränkung
- in 1-D Systemen :  $S \leq L$  für  $L \rightarrow \infty$ , da  $S$  maximal bei Gleichverteilung  $w_{\alpha} = 2^{-L}$
- $S$  besitzt obere Schranke  $\propto$  Korrelationslänge  $\xi$   
 $\Rightarrow$  Zahl der zu behaltenden EW  $M \propto 2^S = \text{const}$
- selbst nahe dem kritischen Punkt steigt  $S$  nur logarithmisch an:  
 $S \propto k \log_2 L + \text{const}$   
 $M \propto L^k, k = \text{const, klein}$

# Das Problem bei höheren Dimensionen

Dichtematrix-Renormierungsgruppen prinzipiell auch in höheren Dimensionen möglich

Die Mathematik der DMRG gilt äquivalent auch in beliebig hohen Dimensionen

aber:

- in höheren Dimensionen Verschränkung viel stärker:  $S \propto \left(\frac{L}{\lambda}\right)^{d-1}$
- um gute Präzision zu erhalten: exponentiell mehr EW miteinbeziehen:  
 $M \propto 2^{L^{d-1}}$
- dabei aber das System groß ziehen (thermodynamischer Limes)  $\Rightarrow$  Rechenaufwand explodiert
- eingeschränkt zweidimensionale Systeme möglich, z.B. Leitern

# Erweiterungen der DMRG zu Dynamik und Zeitentwicklung

- bisherige Größen alle statische Gleichgewichtsgrößen
- zu geringe Anzahl an Eigenzuständen für Dynamik
- ① Erweiterung auf Impuls als gute Quantenzahl (Dynamische DMRG, Gleichgewichtsdynamik)
- ② Erweiterung auf Zeitenwicklung (also Nichtgleichgewichtsdynamik)

# Dynamische DMRG

## Propagator für $T=0$

$$iG_A(t - t') = \langle 0 | A^\dagger(t') A(t) | 0 \rangle$$

für Rechnung eher die Form:

$$G_A(\omega + i\eta) = \langle 0 | A^\dagger \frac{1}{E_0 + \omega + i\eta - \widehat{H}} A | 0 \rangle$$

wobei  $\eta > 0$  gegen 0 geschickt wird

# Dynamische DMRG

- um Propagator zu berechnen, werden mehrere Zustände benötigt
- Art, Zustände auszusuchen, variiert, zB
  - *Lanczos-Vektor Methode*: Krylov-Unterraum:  $|\Psi_0\rangle, \hat{A}|\Psi_0\rangle, \hat{A}^2|\Psi_0\rangle, \dots$
  - *Korrekturvektor Methode*:  $|\Psi_0\rangle, \hat{A}(\omega + i\eta - \hat{H})^{-1}|\Psi_0\rangle$
  - *Dynamische DMRG*: statt des Lösen des großen Gleichungssystems  
variationelle Minimierung des Funktionals

$$W_{A,\eta}(\omega, \Psi) = \langle \Psi | (E_0 + \omega - \hat{H})^2 + \eta^2 | \Psi \rangle + \eta \langle \Psi | A | \Psi_0 \rangle + \eta \langle \Psi_0 | A | \Psi \rangle$$

# Dynamische DMRG

- um Propagator zu berechnen, werden mehrere Zustände benötigt
- Art, Zustände auszusuchen, variiert, zB
- *Lanczos-Vektor Methode*: Krylov-Unterraum:  $|\Psi_0\rangle, \hat{A}|\Psi_0\rangle, \hat{A}^2|\Psi_0\rangle, \dots$
- *Korrekturvektor Methode*:  $|\Psi_0\rangle, \hat{A}(\omega + i\eta - \hat{H})^{-1}|\Psi_0\rangle$
- *Dynamische DMRG*: statt des LöSENS des großen Gleichungssystems  
variationelle Minimierung des Funktionals

$$W_{A,\eta}(\omega, \Psi) = \langle \Psi | (E_0 + \omega - \hat{H})^2 + \eta^2 | \Psi \rangle + \eta \langle \Psi | A | \Psi_0 \rangle + \eta \langle \Psi_0 | A | \Psi \rangle$$

# Probleme der Realzeitdynamik

## Problem mit Zeitentwicklung

- DMRG beschneidet Hilbertraum an einem festen Zeitpunkt
- bei schwach korrelierten Systemen: Zeitentwicklung gut bekannt,

$$|\Psi(t)\rangle = \sum_n c_n \exp(-iE_n t) |\Psi(0)\rangle$$

- bei starker Korrelation Zeitentwicklung i.A. nicht bekannt → keine Kontrolle, ob gute Eigenwerte behalten werden

# Zwei Umsetzungen der Realzeitdynamik

## Grundideen von Realzeit-DMRG

- 1 statischer Hilbertraum: Anzahl erhaltener EW wird so optimiert, dass sie möglichst lange Gültigkeit behalten
- 2 angepasster Hilbertraum: Eigenwerte werden mit fortschreitender Zeit angepasst

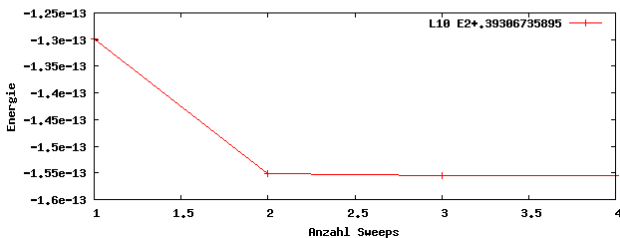
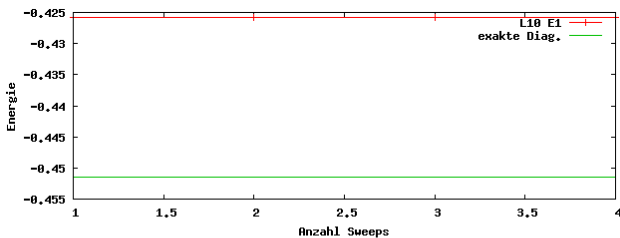
# Gliederung

- 1 Die Theorie der Dichtematrix-Renormierungsgruppe
- 2 Ausblick: Weiterführende Möglichkeiten der Dichtematrix-Renormierungsgruppe
- 3 Die Praxis: ALPS Implementierung der Dichtematrix-Renormierungsgruppe**

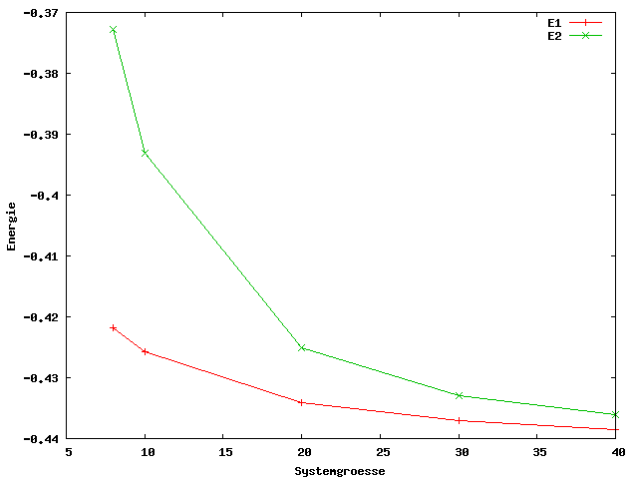
# Parameter

siehe Word-Dokument

# Übereinstimmung mit dem echten Wert

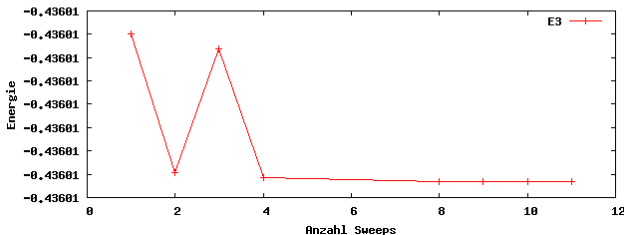
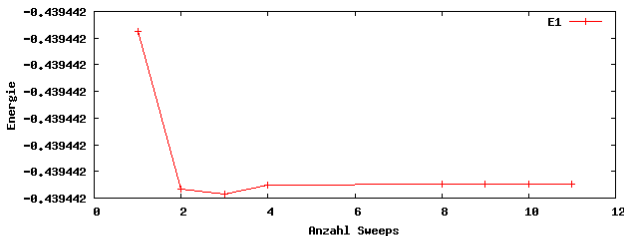


# Abhängigkeit von der Systemgröße

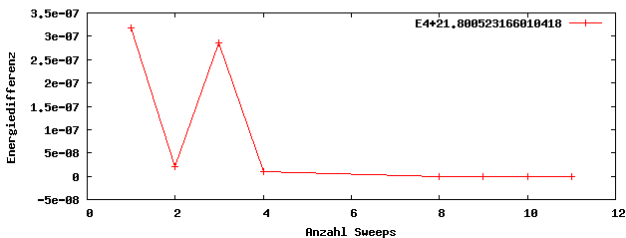
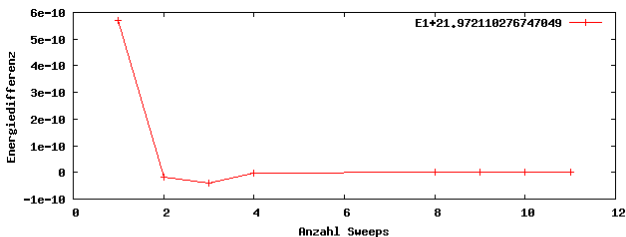


# Konvergenz bei mehr Sweeps

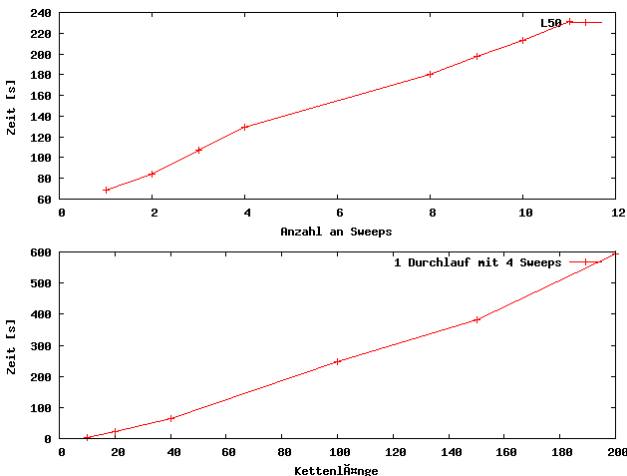
$L=50$ ;  $S_z = 0$  Unterraum



# Energieunterschiede bei mehr Sweeps



# Ressourcenverbrauch



- bei untersuchten Einstellungen Speicherverbrauch meist  $\approx 2 - 8 MB$

# Zusammenfassung

- DMRG stärkster Algorithmus für 1-d Systeme mit starken, aber stark abfallenden Verschränkungen:
  - stärkste WW bearbeitbar
  - Aufwand steigt vergleichsweise schwach mit Systemgröße
  - sehr schnelle Konvergenz
- in höheren Dimensionen keine überragenden Ergebnisse
- höhere Energien verlangen stark ansteigenden Rechenaufwand
- ALPS erspart eigene Implementierung, dafür muss man Daten umständlich extrahieren

## Quellenangabe

- U. Schollwöck: *The density-matrix renormalization group*, Rev.Mod.Phys 77, 259 (2005)
- R. Noack & S. Manmana: *Diagonalization- and Numerical Renormalization-Group-Based Methods for Interacting Quantum Systems*, preprint, arxiv.org (Link siehe Blümer-HP)
- J. Thijssen: *Computational Physics*, Cambridge (2007)